

ДИФФУЗИЯ СЕРЕБРА ПО ПОВЕРХНОСТИЯМ КРЕМНИЯ С АДСОРБИРОВАННЫМИ АТОМАМИ ОЛОВА

A. E. Долбак*, [B. Z. Ольшанецкий]

*Институт физики полупроводников им. А. В. Ржанова Сибирского отделения Российской академии наук
630090, Новосибирск, Россия*

Поступила в редакцию 8 октября 2014 г.

Методами электронной оже-спектроскопии и дифракции медленных электронов изучена диффузия серебра по поверхностям (111), (100), (110) кремния с предварительно адсорбированными атомами олова. Диффузия наблюдается только на поверхности Si(111)- $2\sqrt{3} \times 2\sqrt{3}$ -Sn. Установлен механизм диффузии. Обнаружена зависимость коэффициента диффузии от концентрации диффундирующих атомов. Коэффициент диффузии уменьшается с увеличением концентрации серебра, а энергия активации и предэкспоненциальный фактор возрастают.

DOI: 10.7868/S004445101502011X

1. ВВЕДЕНИЕ

Поверхностная диффузия играет ключевую роль в процессах, протекающих на поверхности, что определяет важность исследований в этом направлении. К настоящему времени получены данные о диффузии некоторых элементов по атомарно-чисстым поверхностям монокристаллов [1–9]. В ряде работ [2, 3, 5, 7] была обнаружена зависимость коэффициента диффузии от концентрации диффундирующих атомов. Так, в работе [2] установлена зависимость коэффициента диффузии серебра по поверхности Ge(111) от его концентрации. Обнаружен резкий максимум коэффициента диффузии при покрытии серебром, близком к величине, при которой завершается формирование структуры Ge(111)- 4×2 -Ag. Максимум наблюдается также на зависимостях энергии активации и предэкспоненциального множителя от концентрации Ag. В работе [3] было установлено, что коэффициент диффузии Sb по поверхности Ge(111) уменьшается с ростом концентрации Sb, что связано с изменением предэкспоненциального множителя. При этом энергия активации диффузии остается неизменной. Авторами высказано предположение, что такое поведение вызвано формированием островков, связывающих атомы Sb. В работе [5] плавное уменьшение коэффи-

циента диффузии In по поверхности Ge(111), энергии активации диффузии и предэкспоненциального множителя с ростом концентрации In авторы связывают с изменением механизма диффузии: при низких концентрациях доминирует образование пар адатом–вакансия, а при высоких — скачковый механизм. На всех зависимостях наблюдается максимум, который связывается с фазовым переходом. Коэффициент диффузии диспрозия по поверхности Mo(112) с ростом его концентрации уменьшается [7]. Подобным же образом ведут себя энергия активации и предэкспоненциальный множитель. При дальнейшем увеличении концентрации диспрозия параметры диффузии сильно связаны с изменениями фазового состояния поверхности.

Добавление на поверхность атомов поверхностно-активного вещества может существенно изменить такие параметры исследуемого вещества, как коэффициенты диффузии, десорбции, поверхностной сегрегации и др., что в результате приводит, например, к изменению механизма роста. Такие вещества также называют сурфактантами, они широко используются при создании тонких пленок, формированииnanoструктур на поверхностях кремния [10–16]. Использование углерода в качестве сурфактanta на поверхности Si(100) приводит к уменьшению коэффициента диффузии Ge на четыре порядка с ростом концентрации углерода [17]. Адсорбция Sr подавляет диффузию Li по поверхности W(112) [18]. При использовании в качестве сур-

*E-mail: dolbak@isp.nsc.ru

фактантов элементов III и IV групп наблюдается рост трехмерных островков Ge и Si на поверхности Si(111) [19]. Это объясняется увеличением подвижности атомов Ge. Ранее нами было установлено, что коэффициенты диффузии Ge по поверхности Si(111)- $2\sqrt{3} \times 2\sqrt{3}$ -Sn на несколько порядков больше, чем по чистой поверхности [20]. Кроме того, на всех трех сингулярных поверхностях кремния атомы Sn формируют поверхностные структуры, коэффициенты диффузии атомов Sn по которым много больше, чем по чистой поверхности [21]. Возможно, что коэффициенты диффузии атомов других элементов по индуцированным оловом поверхностным структурам также будут выше, чем по чистым поверхностям кремния.

Благодаря резкой границе раздела Ag-Si серебро может использоваться при создании барьеров Шоттки и омических контактов. Ранее нами была исследована диффузия Ag по атомарно-чистым поверхностям кремния (111), (100) и (110) [22]. Данные о диффузии серебра по поверхностям Si с предварительно адсорбированным Sn в литературе отсутствуют.

Данная работа посвящена исследованию диффузии массопереноса атомов Ag по атомарно-чистым поверхностям кремния с предварительно осажденными атомами Sn. Целью ее было установление механизмов диффузии и температурных зависимостей коэффициентов диффузии.

2. МЕТОДИКА ЭКСПЕРИМЕНТА

Эксперименты проводились на установке LAS-2000 (Riber) на образцах кремния (111), (100) и (110) *p*-типа с сопротивлением 5–10 Ом·см и размерами $22 \times 5 \times 0.3$ мм³. Очистка поверхности происходила посредством отжига образцов сначала при температуре 600 °C в течение нескольких часов, а затем в течение 1–2 мин при 1200 °C. Нагрев образцов осуществлялся пропусканием переменного тока. Температура образцов измерялась с помощью оптического пирометра. Структура поверхности контролировалась методом дифракции медленных электронов (ДМЭ), а состав поверхности — с помощью электронной оже-спектроскопии (ЭОС). Использовались пики Si *LVV* (92 эВ), Ag *MNN* (351 эВ) и Sn *MNN* (430 эВ). Диаметр первичного пучка электронов в оже-спектрометре был около 15 мкм, энергия первичных электронов составляла 3 кэВ. Диаметр первичного пучка в системе ДМЭ имел величину порядка 0.8 мм. Чувствительность ЭОС по Si и Sn была лучше 1 ат. %, а по Ag — 0.1 ат. %.

Концентрации рассчитывались исходя из модели однородного распределения элементов с использованием коэффициентов элементной чувствительности, взятых из работы [23]. При расчете концентрации Ag по пику Ag *MNN* (351 эВ) учитывалось влияние оже-пика Sn *MNN* (367 эВ), измеренного при этой же энергии в отсутствие серебра.

Источником атомов Ag при исследовании диффузии служила полоска серебра с резкой границей, осажденная на поверхность кремния с предварительно адсорбированными атомами Sn. Толщина полосок была не менее 10 МС (МС — моносвой), скорость осаждения серебра — около 0.3 МС/мин при давлении $(2\text{--}4) \cdot 10^{-8}$ Па. Калибровка потока Ag осуществлялась по излому на зависимости величины оже-сигнала Ag от концентрации атомов Ag, осажденных на атомарно-чистую поверхность Si(111), нагретую до 400 °C [24]. Излом связан с завершением формирования структуры Si(111)- $\sqrt{3} \times \sqrt{3}$ -Ag при покрытии в 1 МС и последующим ростом островков. Концентрация примесей в Ag не превышала 10^{-2} ат. %.

Калибровка скорости напыления Sn осуществлялась путем измерения времени, необходимого для формирования поверхностной структуры Si(111)- $2\sqrt{3} \times 2\sqrt{3}$ -Sn. Формирование этой структуры происходит по достижении концентрации Sn около 1 МС после прогрева до 650 °C [25, 26]. При меньших концентрациях на поверхности наблюдаются структуры $\gamma\text{-}\sqrt{3} \times \sqrt{3}$ -Sn и $\alpha\text{-}\sqrt{3} \times \sqrt{3}$ -Sn, формирующиеся при адсорбции Sn в количестве соответственно 1/6 и 1/3 МС [27]. Структура $2\sqrt{3} \times 2\sqrt{3}$ -Sn испытывает обратимый переход при температуре 190 °C [28]. При температурах образца выше 190 °C на дифракционных картинах видны рефлексы только целых порядков. В то же время структура $\alpha\text{-}\sqrt{3} \times \sqrt{3}$ -Sn существует до температуры 860 °C. Если концентрация атомов Sn не достаточна для того, чтобы полностью сформировалась структура $2\sqrt{3} \times 2\sqrt{3}$ -Sn, то во время отжига при температуре выше 190 °C на дифракционных картинах будут видны рефлексы от структуры $\alpha\text{-}\sqrt{3} \times \sqrt{3}$ -Sn с меньшим содержанием олова. Поэтому формирование структуры $2\sqrt{3} \times 2\sqrt{3}$ -Sn осуществлялось путем осаждения минимального количества олова, при котором в процессе отжига образца до температур выше 190 °C на поверхности не наблюдалась структура $\alpha\text{-}\sqrt{3} \times \sqrt{3}$ -Sn. Скорость осаждения олова была около 0.3 МС/мин при давлении $(3\text{--}4) \cdot 10^{-8}$ Па. Концентрация примесей в Sn не превышала 10^{-3} ат. %.

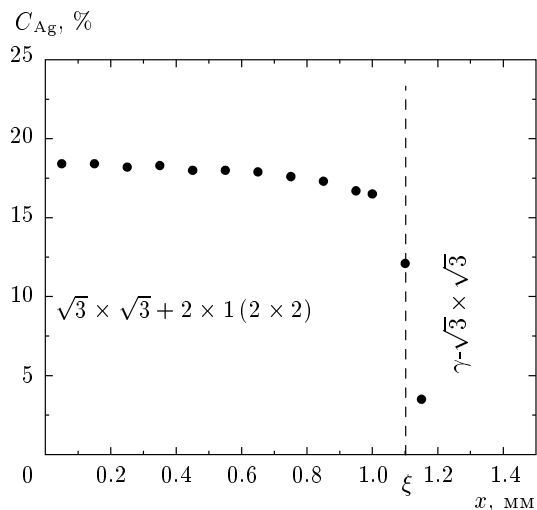


Рис. 1. Распределение концентрации $C_{\text{Ag}}(x)$ на поверхности Si(111)- $\gamma-\sqrt{3} \times \sqrt{3}$ -Sn после отжига при 450°C в течение 160 мин

3. РЕЗУЛЬТАТЫ

Нами изучено влияние индуцированных оловом структур на диффузию Ag по поверхности Si(111). На рис. 1 представлено типичное распределение концентрации $C_{\text{Ag}}(x)$ (x — расстояние от источника), полученное на поверхности со структурой $\gamma-\sqrt{3} \times \sqrt{3}$. На поверхности со структурой $\alpha-\sqrt{3} \times \sqrt{3}$ получаются аналогичные распределения. Все эти распределения имеют резкую границу, а их форма указывает на то, что диффузия Ag по этим поверхностям протекает по механизму твердофазного растекания, так же как и по чистой поверхности [22]. Коэффициенты диффузии рассчитывались с помощью выражения

$$D = \xi^2 / 2t, \quad (1)$$

где ξ — расстояние от края источника до фронта распределения, t — время отжига. Полученные величины несколько меньше соответствующей величины для чистой поверхности (рис. 2). Коэффициент диффузии серебра выше по поверхности $\gamma-\sqrt{3} \times \sqrt{3}$ с меньшим содержанием Sn. Вне зависимости от структуры исходной поверхности, на поверхности, занятой распределением $C_{\text{Ag}}(x)$, наблюдается структура $\sqrt{3} \times \sqrt{3}$. Соотношение интенсивностей рефлексов на дифракционных картинах от этой структуры отличается от соотношения интенсивностей рефлексов от структур $\gamma-\sqrt{3} \times \sqrt{3}$ и $\alpha-\sqrt{3} \times \sqrt{3}$. По-видимому, это та же структура $\sqrt{3} \times \sqrt{3}$, которая наблюдается на чистой поверхности Si с адсорбированным Ag. Одновременно со структурой $\sqrt{3} \times \sqrt{3}$

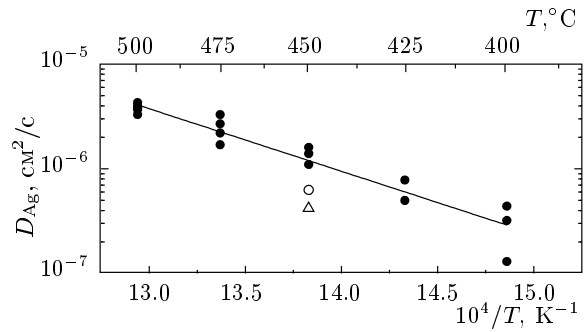


Рис. 2. Зависимости коэффициента диффузии серебра от структуры поверхности Si(111): • — $\sqrt{3} \times \sqrt{3}$ -Ag [22]; ○ — $\gamma-\sqrt{3} \times \sqrt{3}$ -Sn; △ — $\alpha-\sqrt{3} \times \sqrt{3}$ -Sn

существует структура 2×1 (или 2×2). Интенсивности рефлексов от структуры 2×1 (или 2×2) слабее, чем от структуры $\sqrt{3} \times \sqrt{3}$. Совпадение формы распределений $C_{\text{Ag}}(x, t)$ и структур, формирующихся на поверхностях, занятых распределениями, а также небольшие различия в величинах коэффициентов диффузии позволяют предположить, что перенос Ag по поверхностям со структурами $\gamma-\sqrt{3} \times \sqrt{3}$ и $\alpha-\sqrt{3} \times \sqrt{3}$ происходит так же, как на чистой поверхности по механизму твердофазного растекания, т. е. путем формирования поверхностной структуры $\sqrt{3} \times \sqrt{3}$ -Ag и диффузии по ней.

На поверхности Si(111)- $2\sqrt{3} \times 2\sqrt{3}$ -Sn диффузия Ag не приводит к изменению исходной структуры. При этом формируются концентрационные распределения $C_{\text{Ag}}(x, t)$, одно из которых представлено на рис. 3. Распределения наблюдались в диапазоне температур 325–500 °C. В рассматриваемом диапазоне температур влияние десорбции Ag на форму распределения не существенно. Диффузия атомов серебра в объем кремния во время отжига незначительна, так как растворимость его в кремнии мала [29] и поэтому не оказывает заметного влияния на распределения. Источник Ag является источником постоянной мощности, так как концентрация атомов Ag у края источника не зависит от времени отжига. Форма распределения характерна для диффузии, протекающей по механизму случайного блуждания. В отсутствие взаимодействия диффундирующих атомов друг с другом, десорбции и оттока в объем такие распределения описываются выражением

$$C(x, t) = C_0 \operatorname{erfc} \left(\frac{x}{2\sqrt{Dt}} \right), \quad (2)$$

где C_0 — концентрация атомов при $x = 0$. С помощью этого выражения был рассчитан средний коэф-

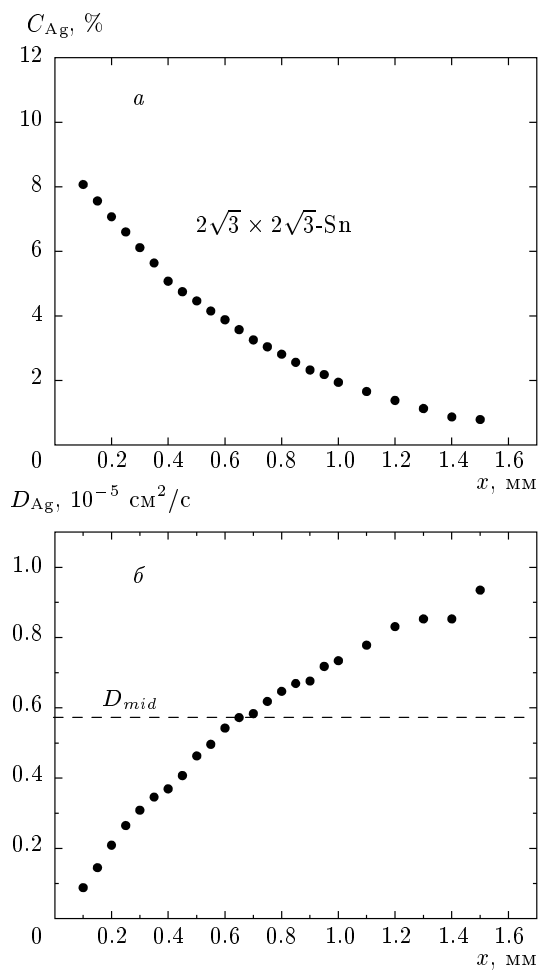


Рис. 3. а) Распределение концентрации $C_{\text{Ag}}(x)$ на поверхности $\text{Si}(111)-2\sqrt{3}\times2\sqrt{3}$ -Sn после отжига при 500°C в течение 6 мин. б) Коэффициенты диффузии Ag по поверхности $\text{Si}(111)-2\sqrt{3}\times2\sqrt{3}$ -Sn для точек x распределения $C_{\text{Ag}}(x)$, рассчитанные с помощью выражения (2)

фициент диффузии по всем точкам распределения (рис. 3a). Величины коэффициентов диффузии, рассчитанные по точкам распределения, не лежат вблизи среднего значения, а возрастают с уменьшением концентрации атомов Ag (рис. 3b), т. е. можно предположить, что имеется зависимость коэффициента диффузии атомов Ag от их концентрации.

Расчет коэффициента диффузии как функции концентрации осуществляется по методу Больцмана – Матано [30]. Для граничных условий

$$C(0, t) = C_0, \quad C(\infty, t) = 0 \quad (3)$$

коэффициент диффузии описывается выражением

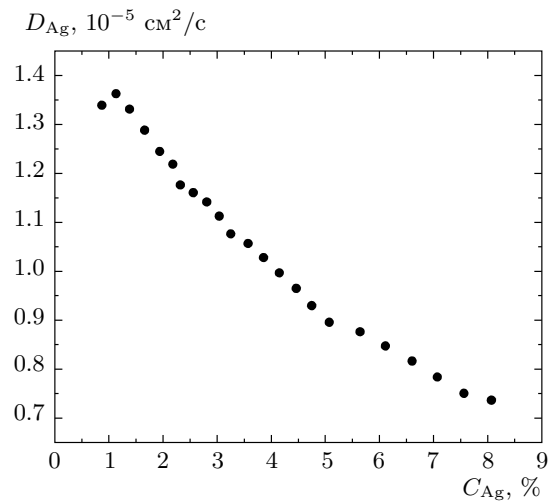


Рис. 4. Зависимость коэффициента диффузии Ag по поверхности $\text{Si}(111)-2\sqrt{3}\times2\sqrt{3}$ -Sn от концентрации Ag для распределения $C_{\text{Ag}}(x)$, представленного на рис. 3a, рассчитанная с помощью выражения (4)

$$D(C) = -\frac{1}{2} \frac{d\lambda}{dC} \int_0^C \lambda dC, \quad (4)$$

где $\lambda = x/\sqrt{t}$. Применяя интерполяцию кривой $C(\lambda)$ в область малых концентраций функцией erfc, получаем зависимость $D_{\text{Ag}}(C)$. На рис. 4 представлена зависимость $D_{\text{Ag}}(C)$, рассчитанная по распределению, приведенному на рис. 3a.

Зависимость коэффициента диффузии от концентрации наблюдается во всем диапазоне температур отжига. На рис. 5 представлены зависимости $D_{\text{Ag}}(C)$, полученные при температурах отжига соответственно 500°C и 425°C .

Используя коэффициенты диффузии атомов серебра для их концентраций 0.85 %, 3.5 % и 6.5 %, взятые из зависимостей $D_{\text{Ag}}(C)$, полученных при температурах отжига 325 – 500°C , были построены три зависимости $D_{\text{Ag}}(T)$ (рис. 6), которые описываются следующими выражениями:

$$D_{0.85\text{Ag}} [\text{cm}^2/\text{c}] = (68 \pm 7) \exp(-1.03 \pm 0.11 \text{ эВ}/kT),$$

$$D_{3.5\text{Ag}} [\text{cm}^2/\text{c}] = (180 \pm 8) \exp(-1.11 \pm 0.13 \text{ эВ}/kT),$$

$D_{6.5\text{Ag}} [\text{cm}^2/\text{c}] = (370 \pm 15) \exp(-1.19 \pm 0.16 \text{ эВ}/kT)$. Аппроксимация температурных зависимостей коэффициента диффузии для других концентраций серебра показывает, что с ростом концентрации Ag возрастает как энергия активации, так и предэкспоненциальный множитель.

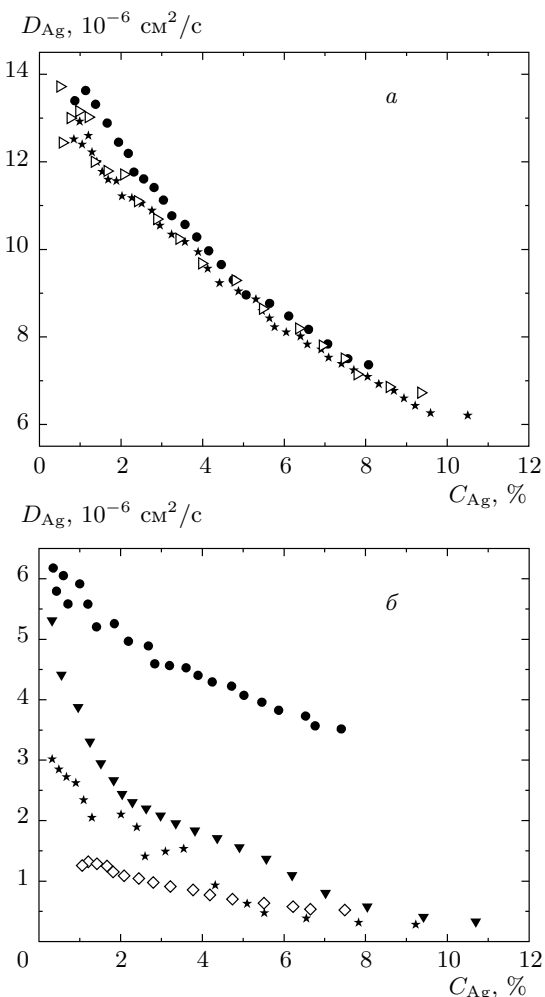


Рис. 5. Зависимости коэффициента диффузии Ag по поверхности Si(111)- $2\sqrt{3} \times 2\sqrt{3}$ -Sn от концентрации атомов Ag для температуры отжига 500 °C (a) и 425 °C (б), рассчитанные с помощью выражения (4)

Прогрев постоянным током приводит к изменению распределений $C_{\text{Ag}}(x)$, которые формируются после отжига переменным током. Если направление протекания тока совпадает с направлением распространения атомов серебра, то происходит изменение формы и длины распределения $C_{\text{Ag}}(x)$. При противоположном направлении тока зависимость $C_{\text{Ag}}(x)$ остается неизменной. На рис. 7 представлены распределения $C_{\text{Ag}}(x)$, полученные на одном и том же образце после отжига переменным, а затем постоянным током. После отжига постоянным током форма распределения подобна распределениям, образующимся при диффузии по механизму твердофазного растекания. Такие распределения могут получаться

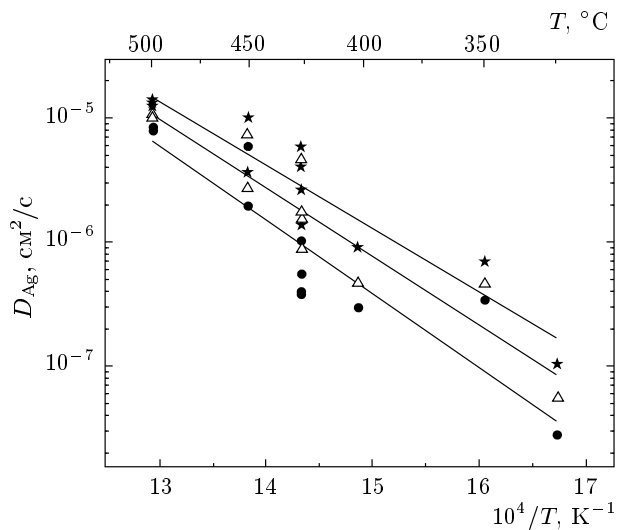


Рис. 6. Зависимости коэффициента диффузии Ag по поверхности Si(111)- $2\sqrt{3} \times 2\sqrt{3}$ -Sn от температуры отжига для $C_{\text{Ag}} = 0.85\% (\star)$, 3.5% (\triangle), 6.5% (\bullet)

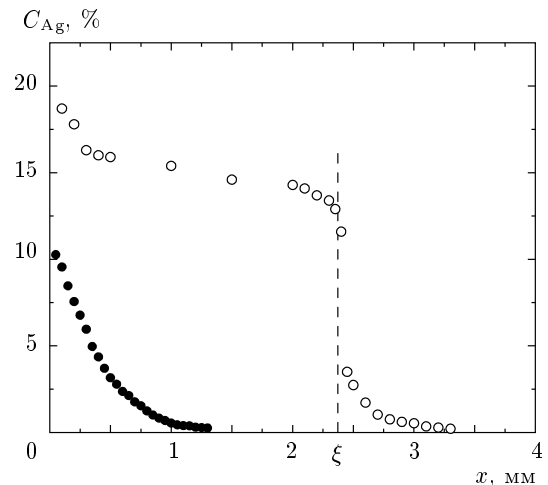


Рис. 7. Распределения концентрации $C_{\text{Ag}}(x)$ на поверхности Si(111)- $2\sqrt{3} \times 2\sqrt{3}$ -Sn после отжига при 500 °C в течение 6 мин переменным током (\bullet) и затем в течение 60 мин постоянным током (\circ)

в том случае, когда на поверхности образуется новая структура. Распространение атомов серебра по ней происходит быстрее, чем по исходной поверхности. На участке поверхности от края источника Ag ($x = 0$) до фронта распределения ($x = \xi$) наблюдаются дифракционные картины, на которых видны те же рефлексы, что и от структуры $2\sqrt{3} \times 2\sqrt{3}$ -Sn, но распределение интенсивностей рефлексов различается.

Такая ситуация возможна в двух случаях. Первый — когда размеры элементарных ячеек структур одинаковы, а структурные факторы разные. Второй — когда на поверхности помимо структуры $2\sqrt{3} \times 2\sqrt{3}$ существуют другие структуры, положения рефлексов от которых совпадают с положениями рефлексов от структуры $2\sqrt{3} \times 2\sqrt{3}$. По соотношению интенсивностей рефлексов на дифракционных картинах можно предположить, что на поверхности существуют структуры $2\sqrt{3} \times 2\sqrt{3}$, $\sqrt{3} \times \sqrt{3}$ и, возможно, 2×1 (2×2). На этом же участке поверхности рассчитанная концентрация атомов Sn меньше их концентрации за фронтом распределения ($x > \xi$) более чем в два раза. Формирование наблюдаемых распределений можно объяснить следующим образом. Под действием постоянного тока происходит перенос части атомов Sn структуры $2\sqrt{3} \times 2\sqrt{3}$ -Sn так же, как это происходит при воздействии постоянным током на распределения концентраций атомов Sn на чистой поверхности Si(111) [21]. Это приводит к разрушению структуры $2\sqrt{3} \times 2\sqrt{3}$ -Sn и образованию структуры $\alpha\text{-}\sqrt{3} \times \sqrt{3}$ -Sn с меньшей концентрацией атомов Sn вблизи края полоски Ag. Формирование структуры $\alpha\text{-}\sqrt{3} \times \sqrt{3}$ -Sn позволяет распространяться серебру по механизму твердофазного растекания, как это описано в начале раздела. Тем не менее на дифракционных картинах от поверхности, занятой распределением $C_{\text{Ag}}(x)$, остаются рефлексы от структуры $2\sqrt{3} \times 2\sqrt{3}$ -Sn, что, по-видимому, связано с тем, что эта структура частично сохраняется.

Таким образом, из трех структур, $\gamma\text{-}\sqrt{3} \times \sqrt{3}$, $\alpha\text{-}\sqrt{3} \times \sqrt{3}$ и $2\sqrt{3} \times 2\sqrt{3}$, формирующихся на поверхности Si(111) под воздействием Sn только структура $2\sqrt{3} \times 2\sqrt{3}$ -Sn способствует увеличению подвижности атомов Ag по сравнению с тем, что наблюдается на чистой поверхности. На поверхностях Si(100) и Si(110) также формируются поверхностные структуры соответственно

$$5 \times 1\text{-Sn} \quad \text{и} \quad \begin{pmatrix} 3 & 3 \\ \frac{3}{2} & 1 \end{pmatrix}\text{-Sn},$$

коэффициенты диффузии Sn по которым выше, чем по чистым поверхностям [21]. Мы не смогли зафиксировать наличие диффузии Ag ни по одной из этих поверхностей. В то же время на чистой поверхности Si(110) нами наблюдалась диффузия Ag [22]. Поэтому структура $\begin{pmatrix} 3 & 3 \\ \frac{3}{2} & 1 \end{pmatrix}\text{-Sn}$ не только не приводит к увеличению подвижности атомов Ag, но и подавляет ее.

4. ВЫВОДЫ

Диффузия Ag по поверхности со структурой Si(111)- $2\sqrt{3} \times 2\sqrt{3}$ -Sn протекает по механизму случайного блуждания. Установлено, что коэффициент диффузии атомов Ag по такой поверхности зависит от их концентрации. Зависимости коэффициентов диффузии серебра по поверхности со структурой Si(111)- $2\sqrt{3} \times 2\sqrt{3}$ -Sn от концентрации рассчитаны для диапазона температур отжига 325–500 °С. На основе полученных температурных зависимостей коэффициента диффузии атомов Ag для разных их концентраций установлено, что с ростом концентрации Ag энергия активации и предэкспоненциальный множитель возрастают. Диффузия Ag по поверхности Si(111) со структурами $\gamma\text{-}\sqrt{3} \times \sqrt{3}$ -Sn и $\alpha\text{-}\sqrt{3} \times \sqrt{3}$ -Sn происходит по механизму твердофазного растекания, так же как и по чистой поверхности. Коэффициенты диффузии Ag по этим поверхностям близки к тем, что получены для чистой поверхности. Отжиг кремния постоянным током, направление протекания которого совпадает с направлением распространения распределения Ag, приводит к изменению механизма диффузии со случайного блуждания на твердофазное растекание.

Диффузия Ag по поверхностным структурам Si(100)- 5×1 -Sn и Si(110)- $\begin{pmatrix} 3 & 3 \\ \frac{3}{2} & 1 \end{pmatrix}$ -Sn в наших экспериментах не наблюдалась.

Работа выполнена при финансовой поддержке РФФИ (грант № 13-02-00201).

ЛИТЕРАТУРА

- Ю. Л. Гаврилюк, В. Г. Лицшиц, Поверхность **4**, 82 (1983).
- E. Suliga and M. Henzler, J. Phys. C **16**, 1543 (1983).
- K. A. Schultz and E. G. Seebauer, J. Chem. Phys. **97**, 6958 (1992).
- R. H. Milne, M. Azim, R. Persaud et al., Phys. Rev. Lett. **73**, 1396 (1994).
- I. I. Suni and E. G. Seebauer, J. Chem. Phys. **100**, 6772 (1994).
- C. E. Allen, R. Ditchfield, and E. G. Seebauer, Phys. Rev. B **55**, 13304 (1997).
- A. T. Loburets, A. G. Naumovets, and Yu. S. Vedula, Surf. Sci. **399**, 297 (1998).

8. A. E. Dolbak, R. A. Zhachuk, and B. Z. Olshanetsky, Central Europ. J. Phys. **2**, 254 (2004).
9. A. E. Dolbak and B. Z. Olshanetsky, Central Europ. J. Phys. **4**, 310 (2006).
10. A. A. Tonkikh, N. D. Zakharov, A. V. Novikov et al., Thin Solid Films **520**, 3322 (2012).
11. S. M. Amir, M. Gupta, S. Potdar et al., J. Appl. Phys. **114**, 024307 (2013).
12. I. Berbezier, A. Ronda, A. Portavoce et al., Appl. Phys. Lett. **83**, 4833 (2003).
13. K. N. Romanyuk, A. A. Shklyaev, and B. Z. Olshanetsky, Surf. Sci. **617**, 68 (2013).
14. S. Korte, K. Romanyuk, B. Schnitzler et al., Phys. Rev. Lett. **108**, 116101 (2012).
15. K. Romanyuk, J. Myslivecek, V. Cherepanov et al., Phys. Rev. B **75**, 241309 (2007).
16. K. Romanyuk, J. Brona, and B. Voigtlaender, Phys. Rev. Lett. **103**, 096101 (2009).
17. G. M. Vanacore, M. Zani, G. Isella et al., Phys. Rev. B **82**, 125456 (2010).
18. A. T. Loburets, S. A. Zaika, and A. G. Naumovets, Ukr. J. Phys. **57**, 661 (2012).
19. B. Voigtlander, A. Zinner, T. Veber et al., Phys. Rev. B **51**, 7583 (1995).
20. A. E. Dolbak and B. Z. Olshanetsky, Central Europ. J. Phys. **6**, 634 (2008).
21. А. Е. Долбак, Б. З. Ольшанецкий, ФТТ **52**, 1215 (2010).
22. А. Е. Долбак, Б. З. Ольшанецкий, ЖЭТФ **143**, 1105 (2013).
23. P. W. Palmberg, G. E. Riach, R. E. Weber et al., *Handbook of Auger Electron Spectroscopy*, Phys. Electr. Ind., Minnesota (1976).
24. G. Le Lay, M. Manneville, and R. Kern, Surf. Sci. **72**, 405 (1978).
25. T. Ichikawa, Surf. Sci. **140**, 37 (1984).
26. C. Tornevik, M. Gothelid, M. Hammar et al., Surf. Sci. **314**, 179 (1994).
27. Y. Sugimoto, P. Pou, O. Custance et al., Phys. Rev. B **73**, 205329 (2006).
28. P. E. J. Eriksson, J. R. Osiecki, K. Sakamoto et al., Phys. Rev. B **81**, 235410 (2010).
29. Б. И. Болтакс, С. Ши-инь, ФТТ **2**, 2677 (1961).
30. J. Crank, *The Mathematics of Diffusion*, Clarendon, Oxford (1975), p. 104.